

3. Г. А. Салтанов. Сверхзвуковые двухфазные течения. Минск: Вышэйшая школа, 1972.
4. В. П. Лопарев. Изв. АН СССР. МЖГ, 3, 1975.
5. Н. Н. Баутин, Е. А. Леонович. Методы и приемы качественного исследования динамических систем на плоскости. М.: Наука, 1976.
6. С. Д. Гришин, А. П. Тишин, Р. И. Хайрутдинов. Изв. АН СССР. МЖГ, 1969, 2.

**ЧИСЛЕННОЕ МОДЕЛИРОВАНИЕ ПРОЦЕССОВ
В РЕЗОНАТОРЕ НЕПРЕРЫВНОГО ХИМИЧЕСКОГО НФ-ЛАЗЕРА
НА ОСНОВЕ УРАВНЕНИЙ НАВЬЕ — СТОКСА**

Ю. В. Лапин, М. Х. Стрелец, М. Л. Шур

(Ленинград)

В работе [1] предложен эффективный конечно-разностный метод численного интегрирования полной системы уравнений Навье — Стокса для многокомпонентных химически реагирующих газовых смесей при наличии релаксационных процессов и когерентного излучения, открывавший благодаря своей экономичности широкие возможности для моделирования различных неравновесных течений со сложной газодинамической структурой. В данной работе этот метод используется для исследования процессов, протекающих в резонаторе непрерывного сверхзвукового химического лазера на молекуле HF. При этом особое внимание уделяется вопросам, которые не могут быть проанализированы в рамках широко распространенных в настоящее время приближенных моделей течения в резонаторе [2—5].

Постановка задачи

При описании течения в резонаторе непрерывно действующего химического НФ-лазера с плоской или цилиндрической геометрией соплового блока (см., например, [6]) используются следующие основные допущения: 1) течение можно считать двумерным (плоским или осесимметричным); 2) смешение сверхзвуковых струй горючего (H_2) и окислителя (F, F_2 , He) в полости резонатора имеет ламинарный характер; 3) эффектами термодиффузии и бародиффузии можно пренебречь, а диффузионный поток массы k -го компонента в многокомпонентной газовой смеси может быть выражен в форме обобщенного закона Фика $\vec{j}_k = -\rho D_k \operatorname{grad} c_k$, где ρ — плотность смеси; c_k — относительная массовая концентрация k -го компонента; D_k — эффективный коэффициент диффузии [7]; 4) на каждом колебательном уровне v молекул фтористого водорода $HF(v)$, образующихся в потоке в результате реакций накачки $F + H_2 \rightleftharpoons HF(v) + H$, $H + F_2 \rightleftharpoons HF(v) + F$, имеет место вращательное равновесие при локальной термодинамической температуре смеси; в этом случае молекулы $HF(v)$, $v = 0, 1, \dots, N$, формально можно рассматривать как отдельные химические компоненты (им присвоены номера $k = 1, 2, \dots, N+1$ соответственно), а элементарные процессы, протекающие с их участием, — как отдельные химические реакции [8]; 5) генерация для каждой колебательной полосы $v+1 \rightarrow v$ может иметь место лишь в P -ветви колебательно-вращательных переходов ($v+1, j_v-1 \rightarrow (v, j_v)$, где j_v — значение вращательного квантового числа, при котором интегральный оптический коэффициент усиления для данной колебательной полосы принимает максимальное значение [2, 8]).

В рамках сформулированных допущений система уравнений Навье — Стокса, описывающая течение в лазерном резонаторе [6, 9, 10], может быть записана в следующей форме:

$$\frac{\partial \vec{F}}{\partial t} + \vec{W} + \vec{Q}_e + \vec{Q}_R = 0, \quad (1)$$

где

$$\begin{aligned} \vec{W} &= \frac{1}{x^v} \frac{\partial}{\partial x} \left[x^v \left(u \vec{F} + q_1 \frac{\partial \vec{f}}{\partial x} \right) \right] + \frac{\partial}{\partial y} \left(v \vec{F} + q_2 \frac{\partial \vec{t}}{\partial y} \right) + \vec{G}, \\ \vec{F} &= \begin{vmatrix} \rho \\ \rho u \\ \rho v \\ \rho \epsilon \\ \rho c_k \end{vmatrix}, \quad \vec{f} = \begin{vmatrix} \rho \\ u \\ v \\ \epsilon \\ c_k \end{vmatrix}, \quad \vec{G} = \begin{vmatrix} 0 \\ G_u \\ G_v \\ G_\epsilon \\ 0 \end{vmatrix}, \quad \vec{Q}_c = \begin{vmatrix} 0 \\ 0 \\ 0 \\ 0 \\ \dot{w}_k \end{vmatrix}, \\ q_1 &= \begin{vmatrix} 0 & 0 & 0 & 0 & 0 \\ 0 & \frac{4}{3} \mu & 0 & 0 & 0 \\ 0 & 0 & \mu & 0 & 0 \\ 0 & 0 & 0 & \lambda & 0 \\ 0 & 0 & 0 & 0 & \rho D_k \end{vmatrix}, \quad q_2 = \begin{vmatrix} 0 & 0 & 0 & 0 & 0 \\ 0 & \mu & 0 & 0 & 0 \\ 0 & 0 & \frac{4}{3} \mu & 0 & 0 \\ 0 & 0 & 0 & \lambda & 0 \\ 0 & 0 & 0 & 0 & \rho D_k \end{vmatrix}, \\ G_u &= \frac{\partial p}{\partial x} - \frac{\partial}{\partial y} \left(\frac{u}{v} \frac{\partial v}{\partial x} \right) + \frac{2}{3} \frac{1}{x^v} \frac{\partial}{\partial x} \left(x^v \mu \frac{\partial v}{\partial y} \right) + \frac{2}{3} \frac{v}{x} \frac{\partial \mu u}{\partial x} - \frac{2}{3} \frac{v \mu}{x} \left(\frac{\partial v}{\partial y} + \frac{\partial u}{\partial x} - 2 \frac{u}{x} \right), \\ G_v &= \frac{\partial p}{\partial y} - \frac{1}{x^v} \frac{\partial}{\partial x} \left(z^v \mu \frac{\partial u}{\partial y} \right) + \frac{2}{3} \frac{1}{x^v} \frac{\partial}{\partial y} \left(z^v \frac{\partial x^v u}{\partial x} \right), \\ G_\epsilon &= P \left(\frac{1}{x^v} \frac{\partial x^v u}{\partial x} + \frac{\partial v}{\partial y} \right) - 2\mu \left[\left(\frac{\partial u}{\partial x} \right)^2 + \left(\frac{\partial v}{\partial y} \right)^2 + v \left(\frac{u}{x} \right)^2 + \frac{1}{2} \left(\frac{\partial v}{\partial x} + \frac{\partial u}{\partial y} \right)^2 - \right. \\ &\quad \left. - \frac{1}{3} \left(\frac{1}{x^v} \frac{\partial x^v u}{\partial x} + \frac{\partial v}{\partial y} \right)^2 \right] - \sum_{k=1}^{N_k} \left[\frac{1}{x^v} \frac{\partial}{\partial x} \left(x^v \rho D_k h_k \frac{\partial c_k}{\partial x} \right) + \frac{\partial}{\partial y} \left(\rho D_k h_k \frac{\partial c_k}{\partial y} \right) \right], \\ \vec{Q}_R &= [0, 0, 0, R_e, R_{c_1}, R_{c_2}, \dots, R_{c_{N_v+1}}, 0, \dots, 0]^T, \\ R_{c_k} &= \frac{m_{\text{HF}}}{h N_A} (\alpha_{k-1} I_{k-1} v_{k-1}^{-1} - \alpha_k I_k v_k^{-1}), \\ R_e &= \sum_{k=1}^{N_v} \alpha_k I_k, \quad \alpha_0 = \alpha_{N_v+1} = 0. \end{aligned}$$

Здесь t — время; x, y — декартовы ($v = 0$) или цилиндрические ($v = 1$) координаты, причем в последнем случае ось x совпадает с радиальным направлением; u, v — проекции вектора скорости на оси x и y ; p — давление; T — температура; ϵ — удельная внутренняя энергия смеси; μ, λ — коэффициенты динамической вязкости и теплопроводности смеси; N_k — общее число химических компонентов; \dot{w}_k — массовая скорость образования k -го компонента в результате химических реакций; h_k — удельная энталпия k -го компонента; N_A — число Авогадро; h — постоянная Планка; m_{HF} — молекулярная масса молекул HF; α_k, I_k, v_k — соответственно оптический коэффициент усиления, интенсивность и частота излучения в колебательной полосе $v+1 \rightarrow v$ молекул HF(v) ($v = k - 1$).

Для замыкания системы уравнений (1) задаются зависимости коэффициентов переноса, теплофизических свойств и оптических коэффициентов усиления от температуры, давления и состава смеси [8, 11], уравнение состояния для смеси совершенных газов, а также связь между температурой и внутренней энергией.

Учитывая периодическую структуру течения в резонаторе [6, 8], в качестве граничных условий на осях соседних струй реагентов (при $y = 0$ и $y = L$) ставятся условия симметрии; на входе в расчетную об-

ласть задаются профили искомых величин, а в конце расчетной области используются «мягкие» граничные условия [12] $\partial^2\phi/\partial x^2 = 0$, где ϕ — любая из искомых функций. В момент времени $t = 0$ задаются пространственные распределения $\phi(0, x, y)$, используемые в качестве начального приближения при отыскании стационарного решения системы уравнений (1) методом установления.

Кроме того, для определения интенсивностей излучения отдельных колебательных полос $I_k = I_k(t, x)$, $k = 1, 2, \dots, N$, используются условия квазистационарной генерации [2, 8]

$$\frac{1}{L} \int_0^L \alpha_k dy = -\ln(r_1 r_2)/(2L_{\text{opt}}), \quad (2)$$

где r_1 и r_2 — коэффициенты отражения зеркал резонатора; L_{opt} — длина оптического пути.

Если для рассматриваемой колебательной полосы условие (2) не выполняется ни при каком значении вращательного квантового числа, то это означает, что генерация в данной полосе отступает и соответствующая интенсивность излучения равна нулю.

Метод решения и описание расчетов

Для численного решения сформулированной задачи в настоящей работе использовалась неявная многошаговая конечно-разностная схема расщепления по пространственным направлениям и физическим процессам, предложенная в [1]. Благодаря неявной аппроксимации химических (\vec{Q}_c) и радиационных (\vec{Q}_R) источниковых членов в исходной системе уравнений, а также неявному, согласованному с разностной схемой алгоритму определения интенсивностей излучения отдельных колебательных полос, используемый метод сохраняет высокую устойчивость и экономичность, присущую аналогичным методам расчета течений однородного вязкого газа [13, 14]. Это обстоятельство позволило впервые на основе полной системы уравнений Навье — Стокса провести достаточно широкое численное исследование процессов, протекающих в резонаторе химического HF-лазера.

Как уже отмечалось во введении, основное внимание при проведении расчетов уделялось вопросам, не поддающимся анализу в рамках обычно используемых приближенных моделей течения в лазерном резонаторе. В частности, исследован механизм и степень влияния на локальные параметры потока и выходные энергетические характеристики лазера эффектов, связанных с нерасчетностью режима истечения сверхзвуковых струй реагентов и с возникновением в потоке поперечных градиентов давления, обусловленных тепловыделением в процессе экзотермических химических реакций. Для этого проведена серия расчетов, в которой варьировалась величина давления на срезе водородного сопла p_H (тем самым изменялся параметр нерасчетности струй реагентов $N = p_H/p_F$, p_F — давление на срезе сопла окислителя) и степень разбавления фтора гелием $\beta_{He} = \dot{n}_{He}/(\frac{1}{2} \dot{n}_F + \dot{n}_{F_2})$ (\dot{n} — мольный расход). При исследовании течения в резонаторе лазера с цилиндрическим сопловым блоком варьировался также его радиус r_0 . Кроме того, исследовано влияние на энергетические характеристики лазера неоднородности параметров потока на входе в резонатор.

Большинство расчетов проводилось для лазера со следующими типичными значениями определяющих параметров [3]: длина оптического пути $L_{\text{opt}} = 0,175$ м, коэффициенты поглощения зеркал резонатора $a_1 = -a_2 = 0,02$, коэффициент пропускания полупрозрачного зеркала $t_2 = -0,13$, расстояние между осями соседних струй реагентов $L = 2,5 \times 10^{-3}$ м, полувысота струи горючего $L_H = 5 \cdot 10^{-4}$ м. При определении

параметров потока на входе в резонатор полагалось, что химически равновесная смесь $F - F_2 - He$, имеющая температуру и давление торможения 2000 К и $2 \cdot 10^5$ Па соответственно, поступает в резонатор через систему сверхзвуковых сопел со степенью расширения 10, а водород, имеющий температуру торможения 300 К,— через систему сопел со степенью расширения 5. При этом в основной серии расчетов течение окислителя и горючего в сопловом блоке считалось невязким и химически замороженным.

Все расчеты течения в резонаторе выполнены на разностной сетке, содержащей 21×21 узлов. Длина одного расчетного участка в зависимости от режима течения полагалась равной $(2-4)L$. В случае, если длина зоны генерации превышала указанное расстояние, расчетная область разбивалась на ряд перекрывающихся участков. При этом в качестве граничных условий в начале каждого последующего участка использовались профили параметров в соответствующем сечении, определенные при расчете предыдущего участка.

Для описания физико-химических процессов, протекающих в смеси водорода и фтора, при проведении расчетов использовалась кинетическая модель [8], включающая 77 элементарных реакций между двенадцатью компонентами смеси ($H, H_2, F, F_2, He, HF(v), v = 0, 1, \dots, 6$).

Результаты расчетов

Основные результаты исследования влияния степени нерасчетности струй реагентов N на параметры потока в резонаторе и выходные характеристики лазера представлены на рис. 1, 2. Как видно из рис. 1, *a*, нерасчетное истечение сверхзвуковых струй сопровождается образованием в зоне смешения сложной ромбовидной системы косых скачков уплотнения, волн сжатия и разрежения, взаимодействующих друг с другом и «отражающихся» от осей симметрии струй. Из-за интенсивных поперечных токов, возникающих при этом на начальном участке течения, наблюдается резкое ускорение смешения реагентов (рис. 1, *b*). В результате при нерасчетном режиме истечения горение фторо-водородной смеси в резонаторе уже не является диффузионным, как это имеет место в случае совпадения давлений на срезах сопел реагентов [15], а протекает в весьма широкой области (см. рис. 1, *b*), причем зона горения на начальном участке смещается в сторону оси перерасширенной струи (см. рис. 1, *b, e*). Таким образом, скорость протекания физико-химических процессов в полости резонатора при нерасчетных режимах истечения не лимитируется скоростью диффузии компонентов, как при диффузионном горении, а определяется составом, давлением и температурой смеси в зоне реакции.

При повышении давления на срезе водородного сопла по сравнению со случаем расчетного режима истечения ($N > 1$), когда зона реакции смещается в сторону оси струи окислителя, имеющего более высокую начальную температуру, совокупность ряда факторов (быстрое смешение реагентов на начальном участке, увеличение констант скоростей химических реакций из-за более высокой температуры смеси, повышение среднего уровня давления смеси, рост температуры и давления в зоне реакции при прохождении газа через скачок уплотнения) приводит к резкому увеличению скорости протекания реакций накачки, что сопровождается ростом интенсивности генерируемого излучения (рис. 2, *a*). При этом, однако, из-за быстрого возрастания температуры смеси (см. рис. 1, *e*) сокращается длина зоны генерации Δx_g , зависимость которой от N приведена на рис. 2, *b*. Следует отметить, что увеличение скорости химических реакций в потоке при повышении N настолько значительно, что, несмотря на сокращение зоны генерации, степень выгорания окислителя к концу зоны $\sigma = 1 - \bar{c}_{F_K}/\bar{c}_{F_0}$ и химический КПД лазера η при этом увеличиваются (рис. 2, *b*; $\bar{c}_{F_K}, \bar{c}_{F_0}$ —средние концентрации фтора в

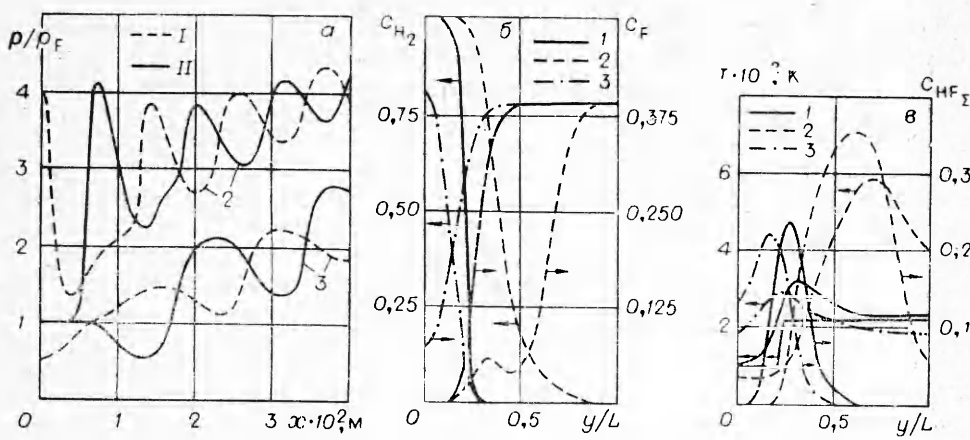


Рис. 1. Распределение давления вдоль осей симметрии струй реагентов (а), профили концентраций H_2 и F в сечении $x = 5 \cdot 10^{-3} \text{ м}$ (б) и профили температуры и суммарной концентрации молекул HF $c_{HF\sum} = \sum c_{HF(v)}$ в сечении $x = 10^{-2} \text{ м}$ (в)
при $\beta_{He} = 15$.

I — ось струи горючего; II — ось струи окислителя. 1 — $N=1$, 2 — $N=4$, 3 — $N=0,5$.

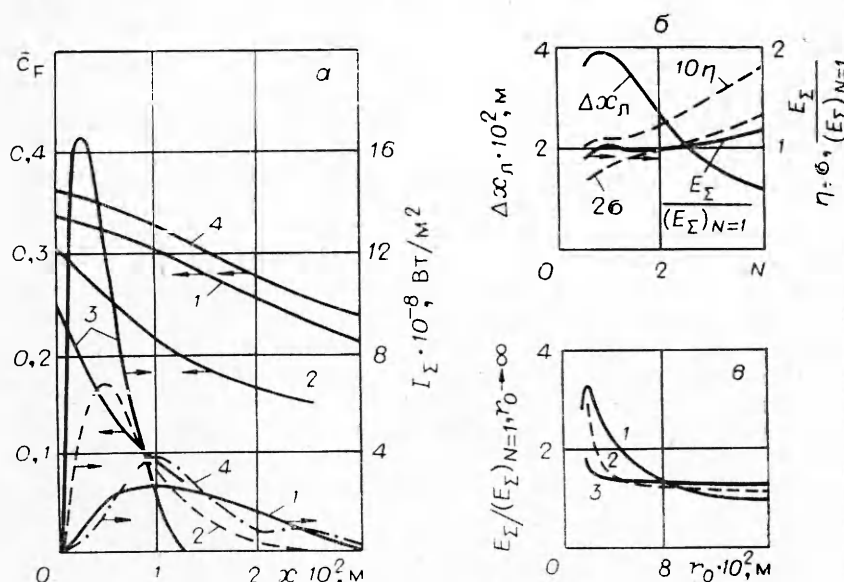


Рис. 2. Распределение среднеинтегральной концентрации атомарного фтора и суммарной интенсивности излучения $I_\Sigma = \sum_{k=1}^{N_v} I_k$ вдоль зоны генерации (а), зависимость выходных характеристик лазера от параметра нерасчетности (б) и от радиуса цилиндрического соплового блока (в).
а, б) $\beta_{He} = 15$; в) $\beta_{He} = 10$. 1 — $N=1$, 2 — $N=2$, 3 — $N=4$, 4 — $N=0,5$.

конце зоны генерации и на входе в резонатор). Однако из-за увеличения суммарного расхода топлива с ростом давления на срезе водородного сопла изменение удельного лазерного энергосъема E_Σ при изменении параметра нерасчетности в рассмотренном диапазоне $1 \leq N \leq 4$ оказывается незначительным (не превышает 20%).

При понижении давления на срезе водородного сопла по сравнению с расчетным значением ($N < 1$) наряду с ускорением смешения реагентов (см. рис. 1, б), способствующим увеличению скорости протекания химических реакций, действует совокупность факторов, способствующих уменьшению последней. Так, зона реакции в этом случае смещается в

сторону оси струи горючего, имеющего низкую начальную температуру (см. рис. 1, *в*), что приводит к уменьшению констант скоростей химических реакций. Кроме того, горение при этом протекает в основном в «атмосфере» молекулярного водорода, обладающего большей теплоемкостью, чем смесь фтора с гелием, и поэтому в потоке наблюдается не столь быстрый рост температуры, как в случае $N \geq 1$. Наконец, понижение давления на срезе водородного сопла приводит к снижению среднего уровня давления смеси. В результате действия всех перечисленных факторов интегральная скорость протекания химических реакций, а следовательно, и другие интегральные параметры течения при уменьшении давления в водородной струе ($0,5 \leq N \leq 1$) меняются незначительно (см. рис. 2, *а, б*).

Гораздо более существенным оказывается влияние N на выходные характеристики химического HF-лазера с цилиндрическим сопловым блоком, работа которого в случае расчетного режима истечения реагентов в полость резонатора проанализирована в [16] на основе приближения пограничного слоя. Как видно из рис. 2, *в*, область значений радиуса соплового блока, при которых проявляются преимущества цилиндрической модели лазера, отмеченные в [16], в случае нерасчетных режимов истечения струй реагентов значительно сужается, а при больших значениях параметра нерасчетности ($N \geq 4$) эта область практически вырождается. Это связано с уже отмечавшимся сокращением длины зоны генерации при увеличении N и с тем обстоятельством, что существенное повышение удельных энергетических характеристик цилиндрической модели лазера по сравнению с плоской может иметь место лишь в том случае, когда длина зоны генерации ненамного меньше, чем радиус соплового блока.

Важное методическое значение при постановке и проведении широких численных параметрических исследований процессов в резонаторах непрерывных химических лазеров имеет вопрос о возможности использования для этой цели приближения пограничного слоя [4—5, 16—17]. Очевидно, что допущение об отсутствии в потоке поперечных градиентов давления, лежащее в основе этого приближения, вообще говоря, не выполняется даже в случае расчетного режима истечения струй реагентов, так как при этом могут возникать значительные поперечные градиенты давления, обусловленные интенсивным тепловыделением в зоне смешения в результате экзотермических реакций накачки. Однако количественная оценка погрешности в определении выходных характеристик лазера, возникающая при использовании приближения пограничного слоя, может быть получена лишь на основе непосредственного сравнения результатов расчетов течения в резонаторе, выполненных в рамках этого приближения и в рамках полной системы уравнений Навье — Стокса. В данной работе такое сравнение проведено как для лазера с плоской, так и с цилиндрической геометрией соплового блока в широком диапазоне изменения степени разбавления фтора гелием, так как именно этот параметр определяет интенсивность тепловыделения в потоке, а следовательно, и величину поперечных градиентов давления.

Расчеты течения в резонаторе на основе приближения пограничного слоя проведены с использованием методики, описанной в [18]. Результаты сравнения представлены на рис. 3, 4, из которых видно, что при малых степенях разбавления ($\beta_{\text{He}} = 5$) использование приближения пограничного слоя приводит к значительному искажению локальных параметров потока в резонаторе (см. рис. 3), а также характеристик генерируемого излучения (рис. 4, *а*). В то же время характер этих искажений таков, что интегральные энергетические параметры лазера, рассчитанные в рамках приближения пограничного слоя, незначительно отличаются от «точных» значений этих параметров, полученных в результате решения полной системы уравнений Навье — Стокса (рис. 4, *б*).

Таким образом, в случае расчетного режима истечения струй реагентов использование приближения пограничного слоя для определения

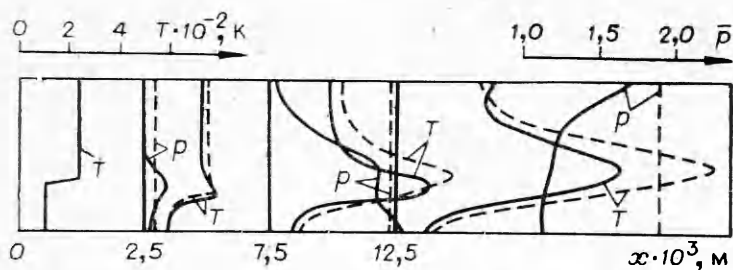


Рис. 3. Развитие профилей безразмерного давления $\bar{p} = p/p_H$ и температуры при $N = 1$, $\beta_{He} = 5$.
— расчет на основе уравнений Навье — Стокса; — — — в приближении пограничного слоя.

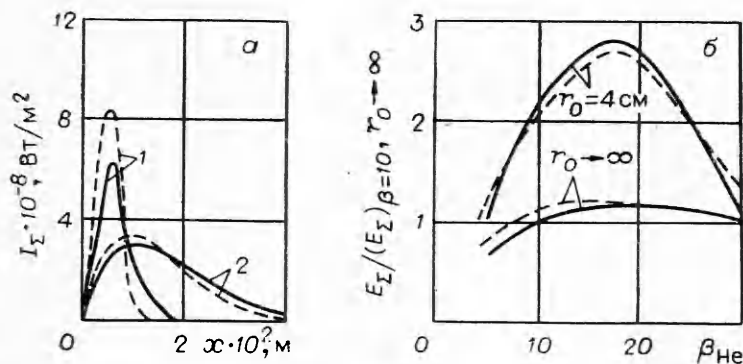
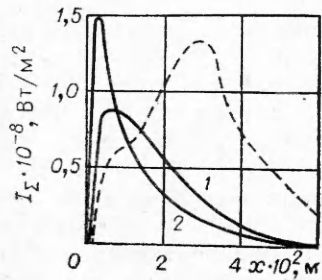


Рис. 4. Продольное распределение суммарной интенсивности излучения (а) и зависимость удельного энергосъема лазера от β_{He} (б).
— расчет на основе уравнений Навье — Стокса; — — — в приближении пограничного слоя. 1 — $\beta_{He} = 5$; 2 — $\beta_{He} = 15$.

энергетических характеристик лазера является вполне оправданным даже при малых степенях разбавления струи окислителя инертным газом. В случае же больших степеней разбавления ($\beta_{He} \geq 15$) использование этого приближения позволяет с достаточной точностью определить и локальные характеристики потока в резонаторе.

В заключение остановимся на вопросе о влиянии на выходные характеристики лазера неоднородности параметров потока на входе в резонатор (на выходе из соплового блока). Достаточно корректный анализ этого эффекта возможен лишь на основе уравнений Навье — Стокса, поскольку учет наличия пограничных слоев на стенках сверхзвуковых сопел неизбежно приводит к изменению соотношения давлений в струях горючего и окислителя на входе в резонатор. Кроме того, расчету течения в резонаторе в этом случае должен предшествовать расчет параметров потока в сопловом блоке лазера. В данной работе этот расчет проводился по методике [19], позволяющей учесть вязкие эффекты и теплообмен на стенках сопел, гомогенную (в газовой фазе) и гетерогенную (на стенках) рекомбинацию атомов фтора в окислительных соплах, а также обратное влияние пограничного слоя на течение в невязком ядре потока в сопле. Расчитанные по этой методике профили скорости, температуры, концентраций атомарного и молекулярного фтора и значения давлений на срезах сопел использовались далее в качестве граничных условий при расчете течения в резонаторе.

Рис. 5. Продольное распределение суммарной интенсивности излучения.



Способ задания параметров потока на входе в резонатор	E_{Σ} , кДж/кг	p_H , Па	p_F , Па
Из расчета вязкого течения в сопле с абсолютно каталитической стенкой	96	875	624
То же для сопла с некаталитической стенкой	98	875	624
Из расчета невязкого замороженного течения в соплах	202	539	294

Типичные результаты расчетов, полученные таким образом для случаев, когда стена сопла является абсолютно каталитической (кривая 1) и абсолютно некаталитической (кривая 2) по отношению к реакции рекомбинации атомарного фтора, представлены на рис. 5. Там же штриховой линией приведены результаты расчетов, полученные в предположении о невязком характере течения в соплах. Соответствующие значения давлений на срезах сопел и удельных энергосъемов лазера представлены в таблице. Из приведенных результатов видно, что при расчете течения в резонаторе учет предыстории потока (вязких эффектов в сверхзвуковых соплах) совершенно необходим для получения реалистичных оценок выходных энергетических характеристик лазера.

Поступила в редакцию 2/XII 1981

ЛИТЕРАТУРА

- Ю. В. Лапин, М. Х. Стрелец, М. Л. Шур.— В сб.: Численные методы механики сплошной среды. Т. 13. Новосибирск: ВЦ СО АН СССР, 1982.
- G. Emanuel. JQSRT, 1971, 11, 11.
- В. Г. Крутова, А. Н. Ораевский и др. Квантовая электроника, 1976, 3, 9.
- А. А. Степанов, В. А. Щеглов. Квантовая электроника, 1979, 6, 4.
- А. В. Лавров, В. А. Поспелов и др. ФГВ, 1979, 15, 1.
- А. А. Степанов, В. А. Щеглов. Препринт ФИАН, № 182, 1976.
- И. П. Гинзбург. Трение и теплопередача при движении смеси газов. Л.: ЛГУ, 1975.
- Химические лазеры/Под ред. Р. Гросса и Дж. Ботта. М.: Мир, 1980.
- Ю. В. Лапин. Турбулентный пограничный слой в сверхзвуковых потоках газа. М.: Наука, 1970.
- J. D. Rawshaw, R. C. Mjolsness, O. A. Farmer. JQSRT, 1977, 17, 2.
- Дж. Гиршфельдер, Ч. Кертисс, Р. Берд. Молекулярная теория газов и жидкостей. М.: ИЛ, 1961.
- П. Роуч. Вычислительная гидродинамика. М.: Мир, 1980.
- Ю. А. Березин, В. М. Ковеня, Н. Н. Яненко.— В сб.: Численные методы механики сплошной среды. Т. 3, № 4. Новосибирск: ВЦ СО АН СССР, 1972.
- Н. Н. Яненко, В. М. Ковеня. Докл. АН СССР, 1977, 232, 6.
- R. Hoffland, H. Mirels. AIAA J., 1972, 10, 4.
- А. А. Степанов, В. А. Щеглов. ЖТФ, 1980, 50, 3.
- В. К. Баев, В. И. Головичев, В. А. Ясаков. Двумерные турбулентные течения реагирующих газов. Новосибирск: Наука, 1976.
- В. А. Поспелов.— В сб.: Численные методы механики сплошной среды. Т. 13. Новосибирск: ВЦ СО АН СССР, 1982.
- И. А. Бассина, В. Л. Дорот, М. Х. Стрелец. Изв. АН СССР, МЖГ, 1979, 3.

ЗАЖИГАНИЕ ТИТАНА ИЗЛУЧЕНИЕМ CO₂-ЛАЗЕРА

Л. Г. Страковский
(Москва)

Лазерный нагрев и зажигание металлов имеют ряд особенностей, основная из которых связана с изменением мощности излучения, поглощаемой образцом в процессе нагрева [1, 2]. Характерно, что для разных металлов указанная особенность проявляется по-разному.

В [3—5] исследовалась кинетика окисления титана при нагреве CO₂-лазером. Тонкие пластинки массой $\leq 0,05$ г нагревались в атмосферном воздухе лазером мощностью до 30 Вт. При временах нагрева 20—